

بررسی ظرفیت چشمی اتصال از نقطه نظر مبنای مقاومتی با شرایط هندسی متفاوت

بهرح حسینی‌هاشمی (استادیار)
روح‌ا... احمدی جزئی (کارشناس ارشد)
پژوهشگاه بین‌المللی زلزله‌شناسی و مهندسی زلزله

چشمی اتصال یکی از مهم‌ترین المان‌های قاب خمی فولادی در انتقال نیروی جانبی است. این المان بعضاً به عالم رفتار شکل‌پذیر خود، شکل‌پذیری کلی قاب خمی را به همراه تیرها، که خود عضوی شکل‌پذیرند، افزایش می‌دهد. طراحی درست این ناحیه و اجزاء و جزئیات آن ممکن است بر کارایی کلی قاب خمی فولادی تأثیر زیادی داشته باشد. با توجه به این که تاکنون تحقیقات کمی در مورد رفتار لرزه‌بینی چشمی اتصال، خصوصاً با تیرهای نابرابر در دو طرف، صورت گرفته است و تأثیرات نابرابر تیرها در دو طرف، بر چشمی اتصال در هنگام بارهای رفت و برگشتی کمتر مورد توجه بوده است. هدف اصلی این نوشتار بررسی تحلیلی ظرفیت چشمی اتصال خصوصاً در تیرهای نابرابر در دو طرف بر مبنای «طراحی مقاومتی چشمی اتصال» است.

روش تحقیق در این نوشتار به این صورت است که ابتدا مشخصات یک نمونه‌ی سرهم‌بندی شده آزمایشگاهی در نرم‌افزار اجزاء محدود ANSYS مدل‌سازی می‌شود و با استناد به انطباق جواب آزمایشگاهی و جواب تحلیلی، نمونه‌های تحلیلی که از نقطه نظر پارامتر هندسی چشمی اتصال، ارتفاع تیرهای دو طرف و ضخامت بال ستون متفاوت‌اند، مدل‌سازی می‌شوند. سپس نتایج لرزه‌بینی چشمی اتصال برای بررسی و مقایسه ظرفیت‌های پیشنهادی آین نامه‌ها از نظر مبنای مقاومتی (فرمول ارائه شده در استاندارد ۲۸۰۰) برای چشمی اتصال به کار می‌رود. نتایج به دست آمده از این تحقیق حاکی از این است که فرمول‌های ارائه شده در استاندارد ۲۸۰۰ (ویرایش سوم) در مورد تخمین ظرفیت چشمی اتصال در برخی شرایط هندسی محافظه‌کارانه و در برخی غیر محافظه‌کارانه است. هنگامی که ضخامت بال ستون افزایش می‌یابد ظرفیت چشمی اتصال که در استاندارد ۲۸۰۰ ارائه شده است، نسبت به مقدار به دست آمده از نتایج تحلیل در این تحقیق کمتر است و هنگامی که ضخامت بال ستون کاهش می‌یابد در حالتی که ستون تنها به یک تیر متصل است، یا در تیرهای برابر، نتایج تحقیق نسبت به استاندارد ۲۸۰۰ کمتر است.

۲. در مطالعات گذشته ظرفیت چشمی اتصال بیشتر براساس بارگذاری افزاینده‌ی استاتیکی انجام شده است ولی در این نوشتار، مبنای ظرفیتی چشمی اتصال از طریق پوشی که بر روی منحنی هیسترزیس رسم می‌شود، به دست می‌آید که به واقعیت رفتاری چشمی اتصال در هنگام بارگذاری لرزه‌بینی نزدیک‌تر است.^{[۱] و [۲]}

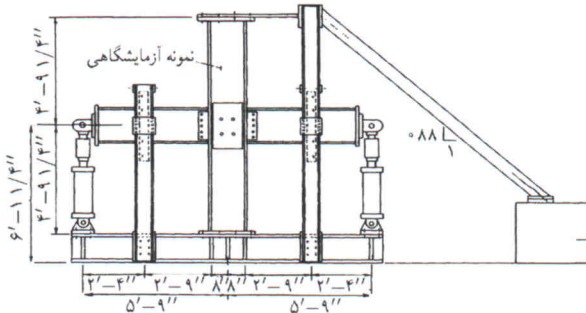
۳. در اغلب تحقیقات گذشته و مخصوصاً در کارهای آزمایشگاهی به دلیل محدودیت‌های تعییر مکان جانبی و نیز به دلیل محدودیت و الزامات دستگاه‌های بارگذاری در بالای نمونه‌ی تیر و ستون سرهم‌بندی شده، از تعییر مکان جانبی در داخل صفحه‌ی بالای ستون جلوگیری شده است، و تعییر مکان بالای ستون و امکان حرکت جانبی یک جزء قاب از بین رفته است.^{[۳] و [۴]} از آنجا که چشمی اتصال بیشتر در قاب‌های خمی قابل بحث است، و نیز در قاب‌های خمی امکان حرکت جانبی برای قاب و در نتیجه

مقدمه

در مورد مبانی ظرفیتی چشمی اتصال با تیرهای برابر و نیز در مورد مبانی ظرفیتی چشمی اتصال ستون‌های خارجی ساختمن تحقیقات زیادی انجام شده است؛ اما هدف کلی این نوشتار تعیین ظرفیت چشمی اتصال در مورد تیرهای نابرابر در دو طرف (علاوه بر تیرهای با ارتفاع برابر در دو طرف و تیر در یک طرف در ستون خارجی) است که با استفاده از پوشی که بر روی منحنی‌های هیسترزیس آنها رسم می‌شود میسر خواهد شد.

در این نوشتار سه ویژگی خاص برای مبنای ظرفیت چشمی اتصال در نظر گرفته شده است:

۱. در تحقیقات گذشته در مورد مبانی ظرفیتی چشمی اتصال با تیرهای نابرابر در دو طرف مطالعات اندکی وجود داشته است^[۵]، و تأثیر نابرابری تیر در چشمی اتصال دیده نشده است.



شکل ۱. شمایی از نمونه‌ی آزمایشگاهی، شاسی، جک‌ها و تکیه‌گاه جانبی آزمایشگاه.^[۶]

به صورت دقیق‌تری مشاهده کرد. در شکل مذکور می‌توان دید که با یک ابزار افقی جلوی تغییر مکان بالای ستون در داخل صفحه گرفته شده است، که این محدودیت به ناچار و بدلیل محدودیت حرکت جانبی جک محوری که بارگذاری محوری را روی ستون انجام می‌دهد اعمال شده است. نحوی بارگذاری روی تیرها از نوع کنترل نیرو بوده، و بار محوری ستون نیز براساس بیشترین بار محوری ناشی از بارگذاری ثقلی است که در ستون تنش ۲۱ksi ایجاد می‌کند انتخاب شده است. این مقدار بار محوری به همین صورت در طول آزمایش ثابت می‌ماند، سپس تیرها به صورت رفت و برگشتی بارگذاری می‌شوند. نحوی بارگذاری چنین است که یک تیر به سمت پایین بارگذاری، و طرف دیگر در همان لحظه به سمت بالا بارگذاری می‌شود. انتهای تیرها ابتدا در دو سیکل اول تا رسیدن به $\frac{1}{3}$ تنش مجاز خمثی اسمی (۱۲ksi) بارگذاری می‌شوند، و در مرحله‌ی بعد بارگذاری تیرها تا مرز تنش مجاز خمثی ۲۴ksi افزایش داده می‌شود و دو سیکل تکرار می‌شود. این بارگذاری‌ها بارها افزایش می‌یابند تا به تنش اسمی جاری شدگی ۳۶ksi برستد که براساس فرض کثسانی به دست آمده‌اند و یک یا دو سیکل در این محدوده تکرار می‌شوند. مرحله‌ی بارگذاری بعدی براساس تنش حد جاری شدن تکرار می‌شوند. با توجه به مواردی که درباره‌ی رفتار چشمی اتصال می‌باشد، و در نتیجه لزوم انجام مجموعه‌ی آزمایشاتی نمونه‌هایی برای این آزمایش‌ها ساخته شد.^[۶] به علت اینکه آزمایش و بارگذاری روی نمونه‌هایی با تیر و ستون‌های در مقیاس واقعی وجود نداشت، تصمیم گرفته شد که با فرض در وسط قرار گرفتن نقطه‌ی عطف در تیرها و ستون‌های نمونه‌ی سرهنگی شده، تمام ابعاد طولی مدل‌ها تا نقطه‌ی عطف و در مقیاس $\frac{1}{3}$ ساخته شود. هر نمونه‌ی سرهنگی شده، تیر و ستون در نقطه‌ی اتصال از یک تیر به ارتفاع نقطه‌ی عطف تا نقطه‌ی عطف ۹ فوت و $\frac{6}{5}$ اینچ ساخته شده بود. برای اطلاع از جزئیات آزمایش می‌توان به کارهای آزمایشگاهی انجام شده در این مورد مراجعه کرد.^[۶]

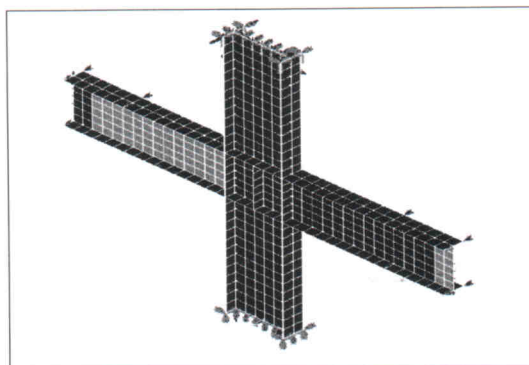
ستون در داخل صفحه‌ی خود وجود دارد، در نمونه‌های مدل‌سازی شده درجه‌ی آزادی سرتون در داخل صفحه بازگذاشته می‌شود که این امر امکان بررسی و تأثیر کمانش کلی ستون در چشمی اتصال را فراهم می‌کند و به واقعیت فیزیکی تیر به ستون که یادآور می‌شویم که واقعیت قضیه در اتصال صلیبی تیر به ستون که از یک قاب اقتباس شده است، حالتی بین گیرداری کامل بالای ستون اتصال صلیبی و آزادی کامل بالای ستون است و باید مثلاً بالای ستون به فنری متصل شود که سختی آن وابسته به سختی اجزای بالا و پایین و سمت راست و چپ اتصال صلیبی سرهنگی شده است. اما چون عملاً پیدا کردن این سختی کاری دشوار و پیچیده است، بالای این اتصال صلیبی سرهنگی شده بازگذاشته می‌شود و این کار، نسبت به حالتی که درجه‌ی آزادی بالای ستون بسته باشد به واقعیت نزدیک‌تر است؛ و از نظر پیدا کردن ظرفیت و شکل‌پذیری چشمی اتصال نیز محافظه‌کارانه است.^[۵] مدل‌سازی نمونه‌های تعریف شده به استناد صحت عملکرد رفتاری و انطباق عملکرد مدل تحلیلی و آزمایشگاهی انجام می‌شود، و سعی خواهد شد مشخصات نمونه‌ها از نظر ابعاد هندسی با یک رواداری معین و نیز با فرض عملکرد مشابه در یک محدوده رواداری مشخص، تعریف شوند. در این نوشتار سه پارامتر اصلی مورد بحث قرار می‌گیرند که بر روی چشمی اتصال تأثیر گذارند:

۱. ضخامت چشمی اتصال بر مبنای طراحی ناحیه اتصال قوی طرح می‌شود و تغییر می‌کند؛
۲. ضخامت بال ستون تغییر می‌کند؛
۳. ارتفاع تیرهای دو طرف نسبت به هم تغییر می‌کنند.

مروری برآزمایش مینا و بارگذاری آن

با توجه به مواردی که درباره‌ی رفتار چشمی اتصال بیان شد، و در نتیجه لزوم انجام مجموعه‌ی آزمایشاتی نمونه‌هایی برای این آزمایش‌ها ساخته شد.^[۶] به علت اینکه آزمایش و بارگذاری روی نمونه‌هایی با تیر و ستون‌های در مقیاس واقعی وجود نداشت، تصمیم گرفته شد که با فرض در وسط قرار گرفتن نقطه‌ی عطف در تیرها و ستون‌های نمونه‌ی سرهنگی شده، تمام ابعاد طولی مدل‌ها تا نقطه‌ی عطف و در مقیاس $\frac{1}{3}$ ساخته شود. هر نمونه‌ی سرهنگی شده، تیر و ستون در نقطه‌ی اتصال از یک تیر به ارتفاع نقطه‌ی عطف تا نقطه‌ی عطف ۹ فوت و $\frac{6}{5}$ اینچ ساخته شده بود. برای اطلاع از جزئیات آزمایش می‌توان به شماره‌ی آزمایشگاهی انجام شده در این مورد مراجعه کرد.^[۶] شمایی از جزئیات دقیق‌تر آزمایش در شکل ۱ ترسیم شده است که در آن می‌توان جک‌ها و تکیه‌گاه‌های اصلی و جانبی و جزئیات اتصال را

شکل ۳ شکست بال پایینی تیر را نشان می‌دهد. این نمونه دارای

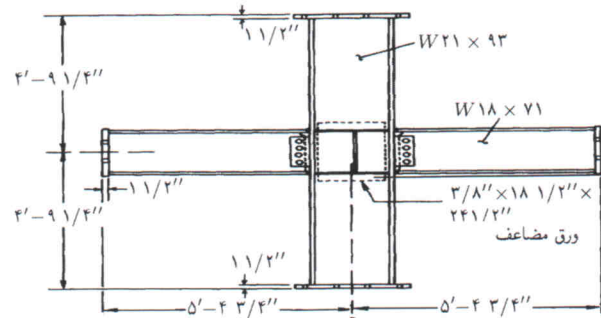


شکل ۴. مدل تحلیلی نمونه.

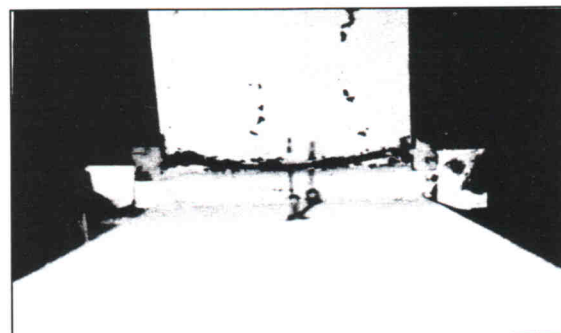
خودداری شد، زیرا براساس شواهد ناشی از نتایج آزمایشگاهی^[۶] و بهواسطه استفاده از پیچ‌هایی با مقاومت خیلی بالا (و با مراجعه به نتایج آزمایش نمونه‌های آزمایشگاهی که در آن مؤکداً ذکر شده است که در پیچ‌ها و برش‌گیر متصل به آن هیچ لغزشی رخ نداده است) لزومی بر مدل کردن پیچ‌ها دیده نشد. زیرا بحث اصلی عملکرد ناحیه اتصال بوده است و هر عاملی که تأثیری در نتایج نگذارد برای پیش‌گیری از اضافه شدن درجات آزادی، و نتیجتاً پیچیده شدن تحلیل (تا آنجا که در دقت تحلیل تأثیر نگذارد)، حذف شده است.^[۷] برای مدل کردن تکیه‌گاه‌های جانبی که در مدل اصلی وجود داشت در محل تکیه‌گاه‌های جانبی در نمونه‌ی آزمایشگاهی، در نمونه تحلیلی جلوی درجه آزادی خارج صفحه گرفته شد. از آن جاکه در نمونه‌های آزمایشگاهی مؤکداً در قسمت «بحث درمورد نتایج آزمایش» آمده بود که ورق‌های پیوستگی و ورق سخت‌کننده قائم به سمت بیرون صفحه‌ی ستون کمانش کرده‌اند، این مسئله نیز در مدل تحلیلی بهوسیله تحلیل کمانش در جای خود گنجانده شده است. برای مدل کردن کمانش، تحلیل کمانش بروی نمونه تحلیلی مورد نظر انجام شد تا مدهای کمانشی به دست آید. سپس بارهای کمانشی که معرف نقص اولیه در سازه‌اند در جای خود قرار داده شدند. نتایج تحلیلی ناشی از تحلیل کمانش در نمونه تحلیلی و انطباق آن با کمانش در نمونه واقعی در ادامه ارائه شده است.

فرضیات تحلیلی و بارگذاری نمونه تحلیلی

در تحلیل این مدل فرض شده است که مصالح به طور کامل از خواص خمیرسانی و کشسانی پیروی می‌کنند. سخت‌شدنگی مجدد^۱ همسان در کشش و فشار در تحلیل با بارگذاری رفت و برگشتی برای فولاد فرض شد. خواص غیرخطی هندسی از طریق کرنش‌های کوچک و فرمول‌بندی تغییر مکان‌های بزرگ در نظر گرفته شده است که تمام این موارد با توجه به امکانات نرم‌افزار ایجاد شده است. این نرم‌افزار قابلیت در نظر گرفتن تؤامان خواص غیرخطی مصالح و هندسی را دارد. باید به این نکته اشاره کرد که وجود جوش اندکستانه در آزمایش واقعی، در



شکل ۲. شماتی از نمونه‌ی آزمایشگاهی.^[۶]



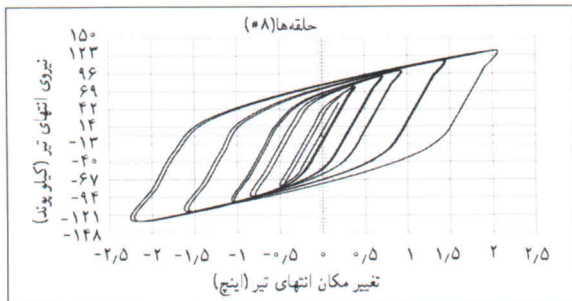
شکل ۳. گسیختگی بال پایینی نمونه آزمایشگاهی.^[۶]

دو بال گسیخته شده در یک زمان بود. لازم است یاد آور شویم که در تمام حالات جوش اندکستانه بر روی ورق مضاعف مؤثر تشخیص داده شده است.^[۶]

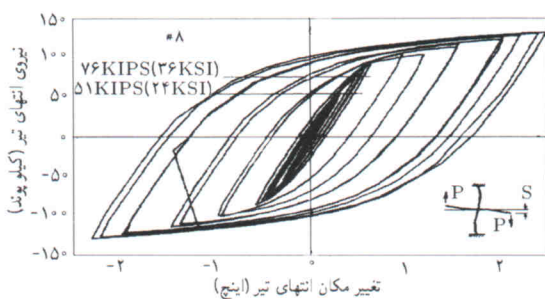
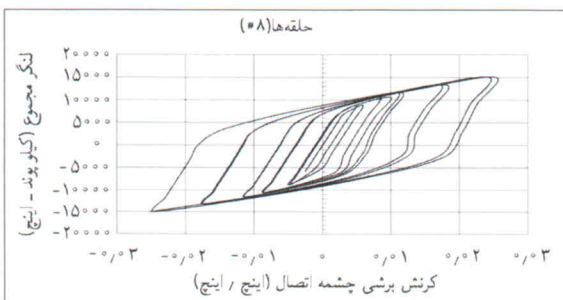
شرح مدل سازی

با توجه به مدل اصلی آزمایشگاهی که به آن اشاره شد، ابعاد هندسی مدل تحلیلی اصلی در نرم‌افزار ANSYS ساخته شد و با استفاده از المان غیرخطی شیل ۴۳ مشبندی شد و صحبت روی هم افتادن گره‌های تک‌تک المان‌ها روی مزه‌ها مورد بازبینی قرار گرفت. باید توجه داشت که انتخاب المان مذکور به صورت سعی و خطأ انجام شده است تا جواب چرخی مدل تحلیلی و آزمایشگاهی با تقریب نزدیکی برابر باشند.

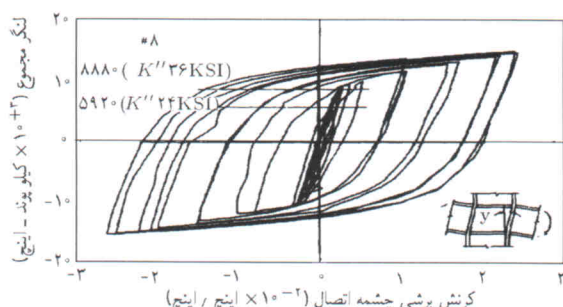
نمایی از مدل تحلیلی نمونه در شکل ۴ ارائه شده است. در این مدل به وضوح دیده می‌شود که جوش‌های بال‌های تیر به جای ستون مدل نشد، زیرا چنان که اشاره شد در این نمونه آزمایشگاهی جاری شدن بال‌ها در جوش و در منطقه حرارت زده رخ نداده است و هیچ شکستی در این نمونه‌ها در محل جوش‌ها، در محل برخورد بال‌تیر به بال ستون، و نیز در سایر موضع جوشکاری رخ نداده است؛ بنابراین برای مدل کردن سازه در رایانه از مدل کردن جوش و خواص آن به عنوان یک جسم تُرد صرف نظر شد. همچنین از مدل کردن پیچ‌ها و برش‌گیر



شکل ۵. منحنی رفتار لرزه‌بی نیرو - تغییر مکان برای مدل تحلیلی.

شکل ۶. منحنی رفتار لرزه‌بی نیرو - تغییر مکان برای مدل آزمایشگاهی.^[۶]

شکل ۷. لنگر برحسب کرنش برشی چشمی اتصال برای نمونه تحلیلی.

شکل ۸. لنگر برحسب کرنش برشی چشمی اتصال برای نمونه آزمایشگاهی.^[۶]

لحظه‌ی گسیختگی و از نظر شکل و تعداد حلقه‌ها در حین آزمایش) است. از مطالب فوق می‌توان چنین نتیجه گرفت که انطباق خوبی بین مدل آزمایشگاهی و تحلیلی وجود دارد و مدل تحلیلی تا حد زیادی در محدوده‌ی بارهای به کار برده شده قابل اطمینان است و می‌توان از آن برای مدل‌سازی نمونه‌های مشابه از نظر رفتاری استفاده کرد. در

الحق کامل ورق مضاعف به جان ستون مؤثر تشخیص داده شده است و این دو صفحه به‌واسطه‌ی این جوش به هم دوخته شده‌اند. به همین دلیل موضوع کمانش نسبی ورق مضاعف نسبت به جان ستون با هم نشد، ولی تمام کمانش‌ها یعنی کمانش ورق مضاعف و جان ستون با هم و کمانش سخت‌کننده‌ها در چشمی اتصال مدل شده است. همچنین تحلیل از نوع غیرخطی واستاتیکی است و براساس نظریه‌ی خمیرسانی کلاسیک و براساس معیار گسیختگی فون میسز انجام شده است.

باید تأکید کرد که در مطالعات انجام شده موضوع انتشار ترک مورد ملاحظه قرار نگرفته است. این نکته به قابلیت ترک پذیری از طریق گسترش تنش در صالح، که باعث تسهیل در شکست سازه می‌شود، بستگی دارد. و این امر به شرطی میسر است که یک ترک یا نامنظمی در سازه معرفی شده باشد.^[۷] بارگذاری این مدل تحلیلی، همانند مدل آزمایشگاهی، از نوع کنترل نیرو بوده و تمام گام‌های بارگذاری که در آزمایشگاهی اصلی آزمایشگاهی اعمال شده، و در بند ۳ به آن اشاره شد، در بارگذاری نمونه‌ی آزمایشگاهی گنجانده شده است. شرایط مرزی مدل آزمایشگاهی نیز عیناً در مدل تحلیلی گنجانده شده است.

تأیید مدل تحلیلی با توجه به نتایج آزمایشگاهی

با توجه به نکات گفته شده و با استفاده از قوانین تسلیم، سرانجام برای توجیه رفتار لرزه‌بی مدل تحلیلی و تحلیل نهایی مدل، منحنی رفتار لرزه‌بی کشیده شد. برابری منحنی‌های رفتار لرزه‌بی مدل تحلیلی و مدل آزمایشگاهی نشان‌دهنده صحبت تقریبی مدل تحلیلی است. علت تقریبی بودن این انطباق فرض‌هایی است که برمنای نظریه‌های کشسانی و خمیرسانی برالمان‌های اجزاء محدود حاکم است، و همچنین تقریب‌هایی که برای ساده‌سازی در مصالح بر روی آنها فرض می‌شود.^[۸] در شکل ۵ و ۶ حلقه‌های هیسترزیس نیرو - تغییر مکان نوک تیر طره در نمونه‌ی آزمایشگاهی و نمونه‌ی تحلیلی کشیده شده است که بیشینه‌ی بار نمونه‌ی تحلیلی در خاتمه‌ی تحلیل و لحظه‌ی عدم همگرای تحلیل در نرم افزار به -13° kips و تغییر مکان متناظر به $-2/21\text{inch}$ می‌رسد. این مقدار در نمونه‌ی آزمایشگاهی به 132kips ، و تغییر مکان انتهایی به $-2/5\text{inch}$ می‌رسد که اختلافی بسیار جزئی است و مطابقت خوبی بین حلقه‌های هیسترزیس آزمایشگاهی و تحلیلی در حین آزمایش و در لحظه گسیختگی وجود دارد. همچنین منحنی لرزه‌بی لنگر خمشی مجموع وجه ستون برحسب کرنش متوسط برشی ناحیه‌ی اتصال برای نمونه‌ی تحلیلی و آزمایشگاهی در شکل ۷ و ۸ نشان داده شده است. برای اساس، بیشترین مقدار لنگر برای هردو تقریباً برابر 15000 kips-in و در اعوچاج 25° رادیان، رخ داده است، که باز هم حاکم از مطابقت خوب نتایج آزمایشگاهی و تحلیلی (در

جدول ۲. مشخصات تیرهای ساخته شده به شکل I (با بال برابر).

تیر ۴	تیر ۳	تیر ۲	تیر ۱	
۲۵	۲۲	۴۰	۵۰	ارتفاع کلی جان تیر (cm)
۱	۱	۱	۱	ضخامت جان تیر (cm)
۱۵	۱۵	۱۵	۱۵	عرض بال تیر (cm)
۲	۲	۲	۲	ضخامت بال تیر (cm)

جدول ۳. مشخصات نمونه‌های سری ۱.

سری ۱	نوع ستون	تیر سمت چپ	تیر سمت راست
نمونه ۱	ستون ۱	تیر ۱	تیر ۱
نمونه ۱	ستون ۱	تیر ۲	تیر ۱
نمونه ۱	ستون ۱	تیر ۳	تیر ۱
نمونه ۱	ستون ۱	تیر ۴	تیر ۱
نمونه ۱	ستون ۱	بدون تیر	تیر ۱

جدول ۴. مشخصات نمونه‌های سری ۲.

سری ۱	نوع ستون	تیر سمت چپ	تیر سمت راست
نمونه ۱	ستون ۲	تیر ۱	تیر ۱
نمونه ۱	ستون ۲	تیر ۲	تیر ۱
نمونه ۱	ستون ۲	تیر ۳	تیر ۱
نمونه ۱	ستون ۲	تیر ۴	تیر ۱
نمونه ۱	ستون ۲	بدون تیر	تیر ۱

جدول ۵. مشخصات نمونه‌های سری ۳.

سری ۱	نوع ستون	تیر سمت چپ	تیر سمت راست
نمونه ۱	ستون ۳	تیر ۱	تیر ۱
نمونه ۱	ستون ۳	تیر ۲	تیر ۱
نمونه ۱	ستون ۳	تیر ۳	تیر ۱
نمونه ۱	ستون ۳	تیر ۴	تیر ۱
نمونه ۱	ستون ۳	بدون تیر	تیر ۱

جدول ۶. طراحی ناحیه‌ی اتصال برای سری ۱.

پیوستگی	ضخامت ورق	طراحی بر مبنای مقاومتی		سری ۱
		t_{pz}	V_{pz}	
۲	۲,۳	۲۰۵۸۱۵	۵۰-۵۰	نمونه ۱
۲	۲,۲	۲۰۰۲۱۲	۵۰-۴۰	نمونه ۱
۲	۲,۱	۱۹۴۴۷۷	۵۰-۳۲	نمونه ۱
۲	۲,۱	۱۹۷۲۹۲	۵۰-۲۵	نمونه ۱
۲	۲,۱	۲۱۴۵۰۰	۵۰-۰	نمونه ۱

خاتمه‌ی این بحث یادآور می‌شویم که اگر در شکل‌های مذکور دقت شود اختلاف محسوسی در شکل‌های آزمایشگاهی و تحلیلی در نوک قله‌ی حلقه‌های هیسترزیس دیده می‌شود که براساس تحقیقات گذشته علت تیزی حلقه‌ی هیسترزیس در چشمۀ اتصال در حالت تحلیلی (نسبت به مدل آزمایشگاهی) این است که تنش‌های پس‌ماند در آنالیز تحلیلی گنجانده نشده است در حالی که در واقعیت وجود دارد.^[۷] نکته‌ی دیگری که مطرح بود لحاظ داشتن اثر کمانش، اعم از کلی و موضعی، و مطابقت آن با کمانش در نمونه‌ی آزمایشگاهی بود. نتیجه‌ی تحلیل مودال کمانش برای یافتن موده‌ای اصلی کمانش نمایانگر انتظام مناسب محل و مقدار کمانش، اعم از کلی و موضعی، در نمونه‌ی تحلیلی آزمایشگاهی با مدل تحلیلی است. کمانش موضعی در مرکز چشمۀ اتصال نمونه‌ی تحلیلی به مقدار ۵/۰ سانتی‌متر خداه است؛ همچنین در محل ورق پیوستگی پشت نمونه که ورق پیوستگی قائم وجود ندارد در نمونه‌ی تحلیلی کمانش موضعی به اندازه‌ی ۱/۲۷ سانتی‌متر در داخل صفحه به وجود آمده است که در نمونه‌ی آزمایشگاهی این کمانش‌ها با مقادیر نزدیک به مقادیر فوق گزارش شده است.^[۸]

معرفی مدل‌های مقایسه‌ی تحلیلی

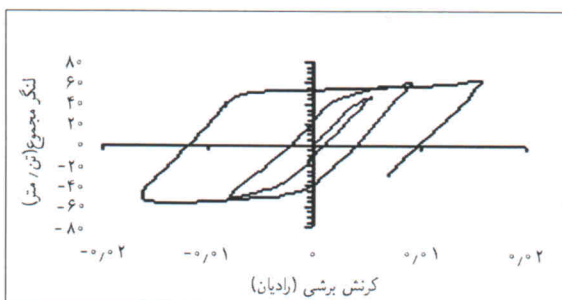
در این نوشتار از سه دسته مدل سرهمندی شده استفاده شده است که اختلاف آنها فقط در ضخامت بال ستون در آنها است. در هر دسته ۵ ارتفاع متغیر تیر با ارتفاع‌های مشخص تعریف می‌شود و در هر اختلاف ارتفاع معین تیرها در هر سری چشمۀ اتصال براساس ناحیه‌ی اتصال قوی طراحی می‌شود و ضخامت چشمۀ اتصال برای آن‌ها به دست می‌آید که با این اوصاف، ما ۱۵ نمونه داریم. نکته‌ی که در اینجا قابل اهمیت است، استفاده از المان غیرخطی شل ۴۳ است که با همان ابعاد $10\text{ cm} \times 10\text{ cm}$ استفاده شده است و این ابعاد تقریباً همان ابعاد است که برای مدل‌سازی نمونه‌ی اصلی به کار گرفته شده است. تمام نمونه‌ها براساس آینه‌نامه‌ی فولاد ایران (مبحث ۱۰)^[۹] و استاندارد ۲۸۰۰ (پیوست ۲ ویرایش ۳)^[۱۰] طراحی شدند و مشخصات مصالح برمبنای فولاد st-۳۷ است.^[۱۱] مشخصات کلیه‌ی سری‌های سری ۱ تا ۸ آمده است.

جدول ۱. مشخصات ستون‌های ساخته شده به شکل I (با بال برابر).

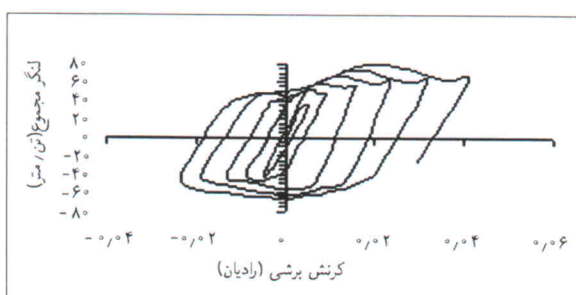
۳	ستون ۲	ستون ۱	
۶۰	۶۰	۶۰	ارتفاع کلی جان ستون (cm)
۱,۵	۱,۵	۱,۵	ضخامت جان ستون (cm)
۲۷	۲۷	۲۷	عرض بال ستون (cm)
۴,۵	۳,۵	۲,۵	ضخامت بال ستون (cm)

همچنین تغییر مکان تیر 40° سمت چپ ($1/25$) برابر تیر 50° سمت راست و درجهٔ مخالف آن باشد. برای نمونه‌های ۳۲ و ۲۵ نیز این اعداد به ۱,۶۷ و ۲ می‌رسند.

نکته‌یی که باید توجه داشت این است که در این روش فرض‌های زیادی وجود داشته است؛ مثلاً تغییر مکان‌های سر تیرها با فرض صلب بودن و عدم چرخش تکیگاه به دست آمده است. همچنین این مسئله تا حد رفتار کشسانی صحیح است و در قسمت خمیری هیچ ضابطه‌یی که مؤید مطالب فوق باشد وجود ندارد. لذا به ناچار چند نمونه با نسبت‌های ارتفاع تیر مختلف در دو طرف با نسبت‌های تغییر مکانی متفاوت در تیر دو طرف تحلیل شد. از جمله این نمونه‌ها مدل 40° و 50° -۴۰ و 50° -۳۲ و 50° -۲۵ بود که در مورد مدل 50° -۲۵ این مدل با نسبت‌های $\frac{(\Delta_{\max})_{Beam}}{(\Delta_{\max})_{Beam}}$ برابر $4/89$ و 2 و 1 و $0/5$ این مدل بارگذاری و تحلیل شد. منحنی رفتار لرزه‌بی مجموع لنگر چشمی اتصال بر حسب دوران برشی چشمی اتصال در شکل‌های ۹ تا ۱۲ موجود است. از مقایسهٔ حلقه‌های هیستریزیس در بارگذاری‌های تغییر مکانی و با نسبت‌های مختلف مشاهده می‌شود که بیشترین لنگر نهایی و اعوجاج برشی، مربوط به منحنی بی است که بار تغییر مکانی در تیر 25° آن دوباره بار تغییر مکانی تیر 50° و درجهٔ مخالف باشد که این تحلیل، نظریه‌یی فوق را تا حد زیادی تأیید می‌کند. تحلیل‌های فوق با نسبت‌های متفاوت بارگذاری برای تیرهای دو طرف در نمونه‌های



شکل ۹. منحنی رفتار لرزه‌بی چشمی اتصال در نمونه‌ی 50° -۲۵ سری ۱ هنگامی که بارگذاری تغییر مکانی در تیر 25° نصف تیر 50° باشد.



شکل ۱۰. منحنی رفتار لرزه‌بی چشمی اتصال در نمونه‌ی 50° -۲۵ سری ۱ هنگامی که بارگذاری تغییر مکانی در تیر 50° برابر تیر 25° باشد.

جدول ۷. طراحی ناحیهٔ اتصال برای سری ۲

پیوستگی	ضخامت ورق		سری ۲
	t_{pz}	V_{pz}	
نیاز ندارد	۲/۱	۲۰۷۰۰۵	۵۰-۵۰
نیاز ندارد	۲	۲۰۳۳۱۹	۵۰-۴۰
نیاز ندارد	۱/۹	۱۹۹۴۵۲	۵۰-۳۲
نیاز ندارد	۱/۸	۱۹۵۷۵۷	۵۰-۲۵
نیاز ندارد	۱/۸	۲۲۶۶۸۷	۵۰-۰

جدول ۸. طراحی ناحیهٔ اتصال برای سری ۳

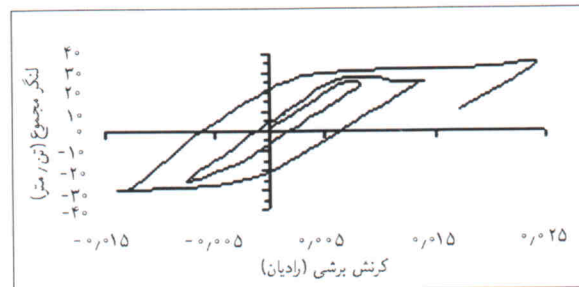
پیوستگی	ضخامت ورق		سری ۳
	t_{pz}	V_{pz}	
نیاز ندارد	۱/۹	۲۱۲۹۴۷	۵۰-۵۰
نیاز ندارد	۱/۸	۲۱۱۸۶۰	۵۰-۴۰
نیاز ندارد	۱/۶	۲۰۱۶۶۱	۵۰-۳۲
نیاز ندارد	۱/۶	۲۰۹۶۱۰	۵۰-۲۵
نیاز ندارد	۱/۶	۲۶۰۱۵۲	۵۰-۰

* تمامی واحدها بر حسب kg و cm dадه شده‌اند، و V_{pz} برش چشمی اتصال و t_{pz} ضخامت چشمی اتصال‌اند.

نحوهٔ بارگذاری روی تیرهای دو طرف با ارتفاع نابرابر، و بارگذاری روی ستون مدل‌ها

برای بارگذاری در دو سر تیر از نوع بارگذاری تغییر مکانی رفت و برگشتی استفاده شده است. تحلیل این نمونه‌ها از نوع کنترل تغییر مکان است. نکته‌یی اساسی دیگری که در اینجا مطرح بود مجھول بودن نسبت بارگذاری دو سر تیر طریق به علت تیرهای متفاوت از نظر ابعاد در دو طرف بود. چون تیرهای دو طرف از نظر ارتفاعی و مشخصات هندسی مقطع نابرابرند، بنابراین باید طبق ضابطه‌یی مشخص تغییر مکان‌ها در دو طرف به طور متفاوت اعمال می‌شد. نکته‌یی که در اینجا مطرح است، اعمال تغییر مکان‌ها به گونه‌یی است که تغییر مکان‌ها و به تبع آن تنفس در دو سر تیر نابرابر در دو طرف، با هم بیشینه شوند. اگر فرض شود که تیرها همگی با هم به تنفس بیشینه برسند، با توجه به اینکه جنس مصالح در تمام مدل‌ها یکی است و از یک نوع فولاد، استفاده شده است، تا هنگام شروع تسلیم تقریباً روابط خطی مقاومت مصالح برقرار است. با استفاده از روابط تغییر مکانی و مقاومتی می‌توان در حالت خطی ثابت کرد که نسبت بارگذاری‌های تغییر مکانی در دو سر تیر نابرابر در دو طرف باید به نسبت عکس ارتفاع‌های مقاطع باشند^[۱۲]، یعنی در حالت کلی در نمونه‌های 50° -۵۰ و 50° -۴۰ و 50° -۳۲ و 50° -۲۵ به ترتیب تغییر مکان تیر 50° سمت چپ برابر 50° سمت راست باشد، و

و با لحاظ کردن اثر کمانشی و همچنین لحاظ کردن تغییر شکل‌های بزرگ انجام شد. معیارگسیختگی در این تحلیل معیار فون میسز بود که برای اجسام شکل پذیر فرض درستی است.^[۱۴] فرضیات تحلیل همان است که در نمونه‌ی آزمایشگاهی و مدل تحلیلی اولیه توضیح داده شده است.



شکل ۱۱. منحنی رفتار لرزه‌بی چشمهدی اتصال در نمونه ۵۰-۲۵ سری ۱، هنگامی که بارگذاری تغییرمکانی در تیر ۴,۸۹, ۲۵ برابر $\frac{h_5}{h_2} = 4/89$ تیر ۵ باشد.

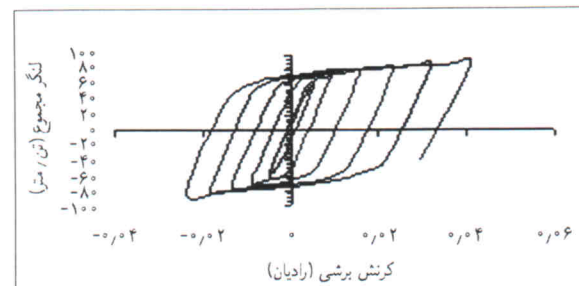
نتایج ناشی از تحلیل
نتایج ناشی از تحلیل در این بخش مشتمل بر منحنی رفتار لرزه‌بی لنگر مجموع، بر حسب اعوجاج برشی چشمهدی اتصال است که برای ۱۵ نمونه مورد بحث انجام شده است. همچنین پوشی که بر این نمونه‌ها کشیده شده، مشخص کننده منحنی ظرفیت آنها است و قابل مقایسه با فرمول‌های ارائه شده در آینه نامه‌ها است.

در حلقه‌های هیسترزیس ۱۵ نمونه، خط‌های مستقیمی به عنوان خطوط ظرفیت کشیده شده است. که این خطوط با فرمول‌های زیر متناظرند. فرمول‌های مذکور از استاندارد ۲۸۰۰ استخراج شده‌اند که در آینه نامه‌ها و مراجع مختلف نحوه بدست آوردن آن‌ها موجود است.^[۱۵] و^[۱۶] باید توجه داشت که فرمول‌های مذکور بر این اساس بدست آمده‌اند که چشمهدی اتصال در مود برشی تغییر شکل بدهد. اما از تغییر شکل‌های ناشی از تحلیل که از نمونه‌های تحلیلی به دست آمده است می‌توان دریافت که در تمامی حالات و در هندسه‌های مختلف این موضوع صحت ندارد. ظرفیت خمشی چشمهدی اتصال در استاندارد ۲۸۰۰ با فرمول ۱ مطابقت دارد، و فرمول ۲ با در نظر گرفتن اثر بارهای دائم در دیگر مراجع و استاندارد مذکور به دست آمده است.

$$Mu1 = \frac{3 \cdot b_e \cdot t_{cf}^3}{d_{avg} \cdot d_c \cdot t_c} \cdot (1 + \frac{0.55 \cdot F_y \cdot t_c \cdot d_c \cdot d_{bmax}}{}) \quad (1)$$

$$Mu2 = \frac{0.55 \cdot F_y \cdot t_c \cdot d_c \cdot d_{bmax}}{8} \cdot (1 + \frac{3 \cdot b_e \cdot t_{cf}^3}{d_{avg} \cdot d_c \cdot t_c}) \quad (2)$$

در این فرمول‌ها b_e عرض بال ستون، d_c ارتفاع مقطع ستون، d_{bmax} ارتفاع تیر متصل به ستون با ارتفاع بزرگ‌تر، d_{avg} میانگین ارتفاع تیرهای طرفین متصل به ستون، و t_c ضخامت جان ستون به علاوه‌ی ورق مضاعف، و t_{cf} ضخامت بال ستون است. شکل‌های ۱۳ تا ۲۷ منحنی و پوش رفتار لرزه‌بی این ۱۵ نمونه را نشان می‌دهند. در این نمونه‌ها منحنی خط‌چین نشان‌گر پوش حلقه‌های هیسترزیس است، و همچنین خطوط مستقیم در این اشکال نشان‌دهنده‌ی ظرفیت‌های ارائه شده‌ی متاضر با فرمول‌های ۱ و ۲ هستند.



شکل ۱۲. منحنی رفتار لرزه‌بی چشمهدی اتصال در نمونه ۵۰-۲۵ سری ۱، هنگامی که بارگذاری تغییرمکانی در تیر ۲۵، دو برابر $(\frac{h_5}{h_2} = 2/5)$ تیر ۵ باشد.

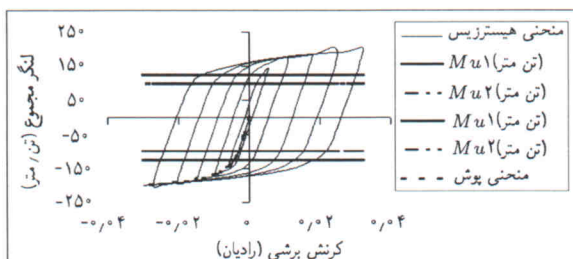
۳۲-۵۰ و ۴۰-۵۰ انجام شد. نتایج این تحلیل‌ها نیز در مورد نمونه‌های مذکور، مؤید صحت همین مطالب است. مطلب دیگر بار محوری بود که روی ستون باید قرار داده شود تا شرایط، مشابه یک جزء قاب واقعی باشد. این بار محوری ممکن است در حد بارکمانشی ستون باشد؛ این مورد نیز تحلیل شد ولی با وجود بار محوری در حد بارکمانشی بعد از دو یا سه چرخه اولیه و با توجه به آزاد بودن سر ستون در تمام نمونه‌های تحلیلی، کمانش کلی سریعی اتفاق می‌افتد. در واقع این حد بار، از بار واقعی ثقلی بسیار دور بود. آینه نامه‌های مختلف بار معادل تنفس اسمی $4/0 F_y$ را بار ثقلی ستون قاب‌ها در نظر گرفته‌اند.^[۱۳, ۱۶] بنابراین میزان نیروی بار محوری بار معادل با تشکیل $\frac{kg}{cm^2}$ در ستون نمونه‌های تحلیلی قرار داده شد. با توجه به مطالب یاد شده، بار رفت و برگشتی $\pm 2/0 cm$ و $\pm 4 cm$ و $\pm 6 cm$ تا $\pm 20 cm$ در 10° گام به تیر 5° مدل اعمال شد. برای تیر طرف مقابل همان طور که گفته شد این میزان در نسبت‌های ارتفاعی تیر 5° به تیر مذکور ضرب شد.

تفسیر و مقایسه نتایج تحلیل

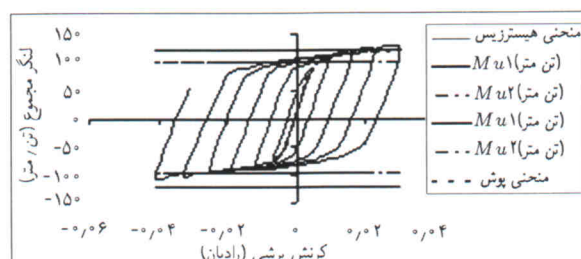
چنان که در نمودارهای بخش پیشین و نمودار مقایسه‌ی شکل ۲۸ مشاهده می‌شود، با افزایش ضخامت بال ستون از سری ۱ نسبت به

تحلیل اصلی

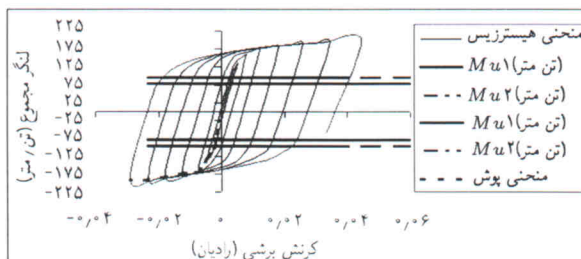
بعد از ملاحظات هندسی و تحلیلی و طراحی نمونه‌ها و بارگذاری، تحلیل اصلی (برای هر ۱۵ نمونه) انجام شد. تحلیل از نوع استاتیکی غیرخطی



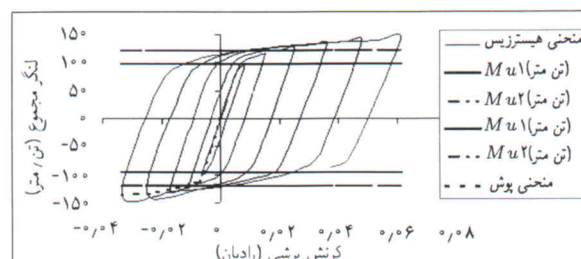
شکل ۱۸. منحنی رفتار لرزه‌بی نمونه‌ی ۵۰-۵۰ از سری ۲.



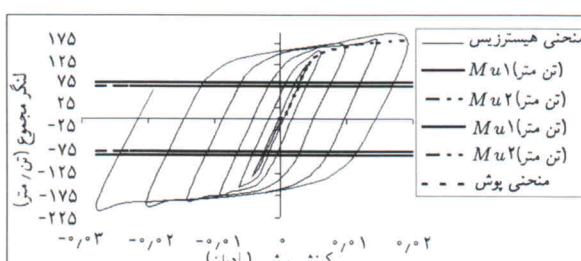
شکل ۱۳. منحنی رفتار لرزه‌بی نمونه‌ی ۵۰-۵۰ از سری ۱.



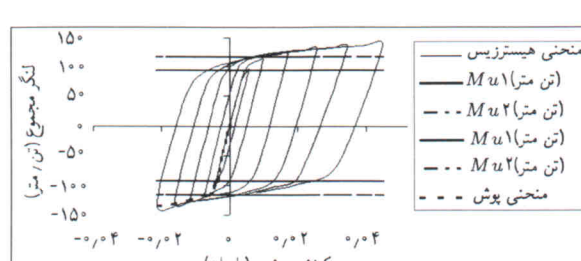
شکل ۱۹. منحنی رفتار لرزه‌بی نمونه‌ی ۵۰-۴۰ از سری ۲.



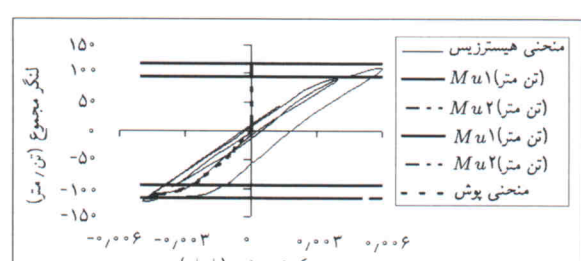
شکل ۱۴. منحنی رفتار لرزه‌بی نمونه‌ی ۵۰-۴۰ از سری ۱.



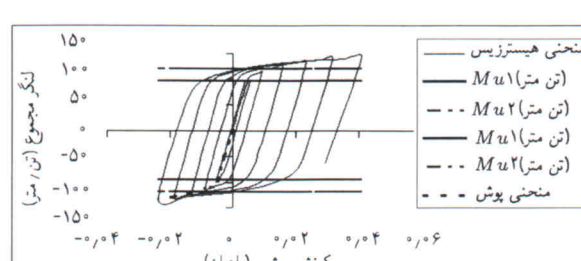
شکل ۲۰. منحنی رفتار لرزه‌بی نمونه‌ی ۵۰-۳۲ از سری ۲.



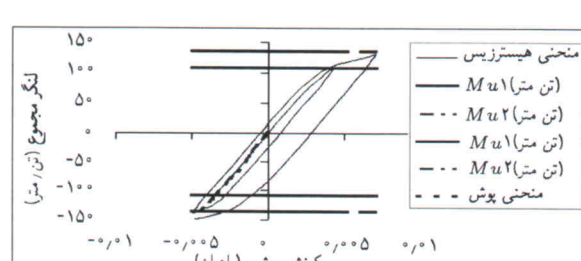
شکل ۱۵. منحنی رفتار لرزه‌بی نمونه‌ی ۵۰-۳۲ از سری ۱.



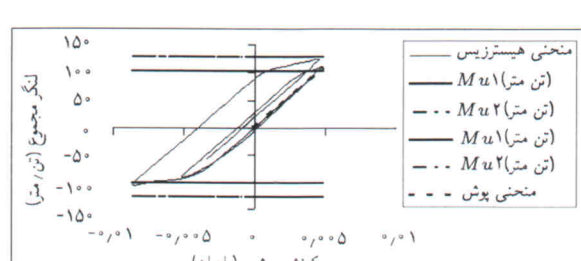
شکل ۲۱. منحنی رفتار لرزه‌بی نمونه‌ی ۵۰-۲۵ از سری ۲.



شکل ۱۶. منحنی رفتار لرزه‌بی نمونه‌ی ۵۰-۲۵ از سری ۱.

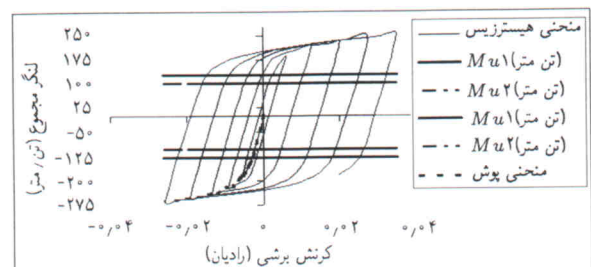


شکل ۲۲. منحنی رفتار لرزه‌بی نمونه‌ی ۵۰-۰ از سری ۲.

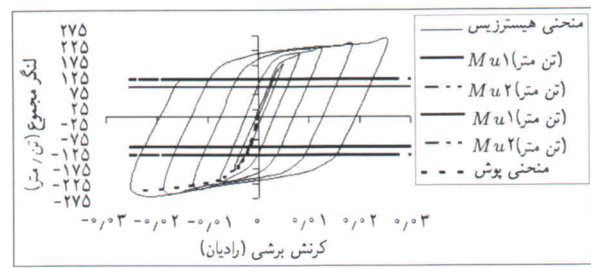


شکل ۱۷. منحنی رفتار لرزه‌بی نمونه‌ی ۵۰-۰ از سری ۱.

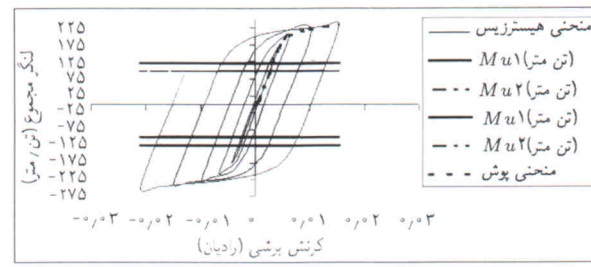
سری ۲ و همچنین از سری ۲ نسبت به سری ۳ ظرفیت چشم‌های اتصال افزایش می‌یابد. این ظرفیت در سری ۱، بهویه در نمونه‌ی $50^{\circ}-5^{\circ}$ ، با توجه به حلقه‌های هیسترزیس رسم شده در شکل ۱۳ در یک سمت (در قسمت فشاری) حداقل استاندارد 280° (فرمول ۱ و ۲) را تأمین نمی‌کند. همچنین نمونه‌ی $50^{\circ}-5^{\circ}$ از این سری، استاندارد مذکور این نمونه از این سری می‌توان مشاهده کرد که مود تغییرشکل غالب برشی است؛ به این معنی که مرزهای چشم‌های اتصال و بال ستون بعد از تغییر شکل تقریباً به صورت خط مستقیم باقی می‌مانند. تغییر شکل فقط در چهارگوشه‌ی چشم‌های اتصال در بال ستون به صورت تاب خودگی مشاهده می‌شود. این فرض همان فرض مبنای فرمول‌های ۱ و ۲ است.^[۱۵] برای نمونه‌های این سری با مشاهده تغییر شکل چشم‌های اتصال می‌توان دریافت که این فرض تا حد زیادی صحیح است؛ همچنین در سری $50^{\circ}-5^{\circ}$ و $50^{\circ}-0^{\circ}$ که دو ورق پیوستگی دارند و محیط چشم‌های اتصال یک محيط مربع مستطیل به ابعاد $50 \times 50 \times 6^{\circ}$ سانتی‌متر است. علت تأمین نشدن حداقل استاندارد 280° در این نمونه‌ها، کمابندهای خارج از صفحه‌ی مرکز چشم‌های اتصال است، در صورتی که در نمونه‌های دیگر از این سری، یعنی نمونه‌های $50^{\circ}-4^{\circ}$ و $50^{\circ}-2^{\circ}$ و $50^{\circ}-25^{\circ}$ و $50^{\circ}-32^{\circ}$ محيط چشم‌های اتصال که همان ابعاد $50 \times 50 \times 6^{\circ}$ سانتی‌متر را دارد، بهوسیله‌ی ورق پیوستگی مجاور بال تیر کوچک‌تر به دو ناحیه تقسیم می‌شود؛ در واقع این ورق پیوستگی برای این ناحیه نقش سخت‌کننده را نیز دارد. همچنین با مشاهده ضخامت چشم‌های اتصال در جدول ۶، می‌توان مشاهده کرد که ضخامت چشم‌های اختصاص یافته‌ی چشم‌های اتصال برای سری ۱ طبق فرمول ۱ برابر $1/2$ و $2/2$ سانتی‌متر است که مقادیر تقریباً ثابتی است. ظرفیت چشم‌های اتصال در این سری، به جز نمونه‌هایی که چشم‌های اتصال آنها کمابندهای موضعی خارج از صفحه یافته (نمونه‌ی $50^{\circ}-5^{\circ}$ و $50^{\circ}-0^{\circ}$) تقریباً ثابت است. همان‌طور که در ابتدای این قسمت اشاره شد، افزایش ظرفیت چشم‌های اتصال با افزایش ضخامت بال ستون همراه است. با دیدن تصاویر تغییر شکل سری ۲ و ۳ می‌توان دریافت که مرزهای چشم‌های اتصال در مجاورت بالهای ستون بعد از تغییر شکل به صورت مستقیم باقی نمی‌مانند، بلکه خمیده و منحنی شکل می‌شوند. این خمیدگی در نمونه‌های سری ۳، نسبت به سری ۲، بیشتر مشاهده می‌شود و مود خمی در سری ۲، و خیلی بیشتر از آن در سری ۳، حاکم بر تغییر شکل چشم‌های اتصال است. نتایجی که محققین برای بارگذاری افزاینده تدریجی غیرخطی ارائه کرده‌اند^[۱۶] تأییدی بر این مطلب است. بنابراین محاسبه‌ی ظرفیت چشم‌های اتصال از فرمول‌های ۱ و ۲ (استاندارد 280°) که بر مبنای تغییر شکل برشی چشم‌های اتصال محاسبه شده‌اند^[۱۵] برای سری ۲ و



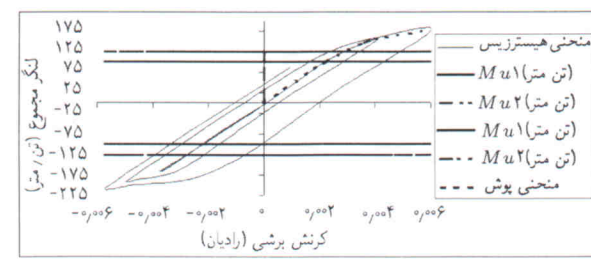
شکل ۲۳. منحنی رفتار لرزه‌بی نمونه‌ی $50^{\circ}-5^{\circ}$ از سری ۳.



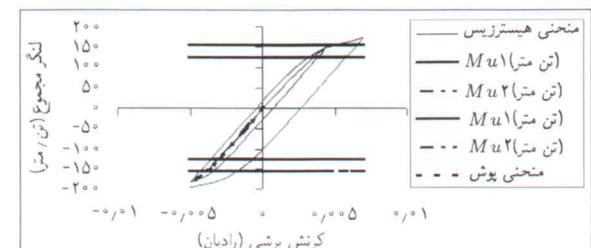
شکل ۲۴. منحنی رفتار لرزه‌بی نمونه‌ی $50^{\circ}-4^{\circ}$ از سری ۳.



شکل ۲۵. منحنی رفتار لرزه‌بی نمونه‌ی $50^{\circ}-32^{\circ}$ از سری ۳.



شکل ۲۶. منحنی رفتار لرزه‌بی نمونه‌ی $50^{\circ}-25^{\circ}$ از سری ۳.



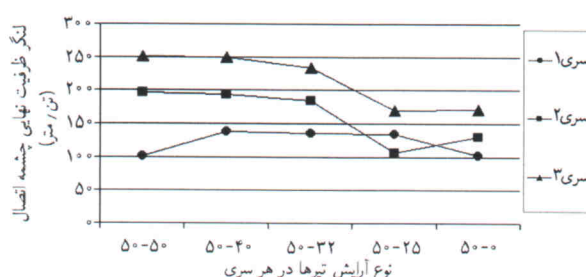
شکل ۲۷. منحنی رفتار لرزه‌بی نمونه‌ی $50^{\circ}-0^{\circ}$ از سری ۳.

چشمی اتصال نسبت به نمونه‌ی $50-50$ در هر سری شده است و در نتیجه ظرفیت نهایی چشمی اتصال نسبت به نمونه‌های $50-50$ کمتر است.

براساس نتایج حاصل از تحلیل، در نمونه‌های سری ۳ با افزایش اختلاف ارتفاع تیرِ دو طرف ستون، ظرفیت چشمی اتصال کاهش می‌یابد (نمونه‌ی نهایی با مود غالب تغییر شکل خمی چشمی اتصال). این روند در سری ۲ نیز وجود دارد؛ البته در مرور نمونه‌ی $50-25$ در این سری که با کمانش موضعی بالِ ستون متصل به تیر کوچک‌تر و جانِ ستون در ناحیه‌ی چشمی اتصال همراه است، کاهش ظرفیت چشمی اتصال نسبت به سایر نمونه‌ها – و حتی نسبت به نمونه‌ی $50-0$ – در این سری بیشتر است. در سری ۱ با توجه به وجود ۳ ورق پیوستگی در نمونه‌ها با تیرهای نابرابر در دو طرف چشمی اتصال (نمونه‌های $50-25$ و $50-32$ و $50-40$) وجود یک ورق پیوستگی مقابل به بالِ پایینی تیر کوچک‌تر که در بین دو ورق پیوستگی دیگر در چشمی اتصال در هر طرف قرار دارد، از طرفی باعث ممانعت از کمانش خارج از صفحه‌ی چشمی اتصال شده است و از طرفی دیگر، به عنوان یک قید اضافی از کمانش موضعی بالِ ستون طرف تیر کوچک‌تر جلوگیری کرده است که در مجموع این عوامل باعث افزایش ظرفیت چشمی اتصال در مقایسه با نمونه‌های $50-0$ و $50-50$ در سری مذکور شده است، که در این نمونه‌ها فقط دو ورق پیوستگی در هر طرف چشمی اتصال وجود دارد. به طور کلی در شرایط یکسان، آرایش تیرها در هر نمونه با افزایش ضخامت بالِ ستون ظرفیت چشمی اتصال افزایش می‌یابد.

در سری ۲ نمونه $50-25$ که با افزایش ضخامت بالِ ستون نسبت به سری ۱ همراه است (از مقدار $2/5$ به $3/5$ سانتی‌متر) با توجه به طراحی ورق پیوستگی بر اساس مبحث دهم آین نامه فولاد ایران^[4]، نیاز به ورق پیوستگی نیست، با توجه به عدم وجود ورق پیوستگی به عنوان یک سخت‌کننده جانی چشمی اتصال در این سری، در چشمی اتصال و همچنین بالِ ستون در محل برخورد به بالِ پایینی تیر کوچک‌تر

۳، به خصوص برای سری ۳، دور از واقعیت به نظر می‌رسد. همچنین با توجه به این که ضخامت بالِ ستون از سری ۱ به 2 ، و از 2 به 3 افزایش یافته و در نتیجه گیرداری مرزهای چشمی اتصال بیشتر شده است. همچنین ضخامت ورق مضاعف فرض شده در هر نمونه (سری ۳ نسبت به 2 ، و سری ۲ نسبت به سری ۱) با توجه به فرمول 1 کمتر شده است. بنابراین با افزایش صلبیت مرزهای چشمی اتصال، امکان کمانش موضعی ورق چشمی اتصال از بین رفته است و در خروجی تصویری اقتباس شده از نرم‌افزار این کمانش موضعی ورق چشمی اتصال دیده نمی‌شود. نکته‌ی دیگر این که با توجه به شکل 28 ، با کاهش ارتفاع تیر در یک سمت در سری 2 و 3 ظرفیت چشمی اتصال کاهش می‌یابد. که علت آن وجود بالِ پایینی تیر کوچک‌تر است که به بالِ ستون، در حد فاصل ارتفاع چشمی اتصال، متصل است و با توجه به مود تغییر شکلی این دو سری که بیشتر خمی است، بالِ پایینی تیر کوچک‌تر از خم شدن کاملِ مرزهای چشمی اتصال در امتداد عمود بر بالِ ستون جلوگیری می‌کند. میزان تغییر شکل و انحنای مرزهای چشمی اتصال و بال‌های ستون در این قسمت، به‌واسطه‌ی وجود بالِ پایینی تیر کوچک‌تر در نمونه‌های $50-40$ و $50-32$ و $50-25$ به عنوان مانع و تکیه‌گاه نسبی در برابر تغییر شکل چشمی اتصال به ترتیب با کاهش ارتفاع تیر کوچک‌تر و متمایل شدن بالِ تیر کوچک‌تر به وسط ارتفاع چشمی اتصال در مجاورت بالِ ستون، کاهش می‌یابد. همچنین با مراجعه به جداول 7 و 8 دیده می‌شود که میزان ضخامت چشمی اتصال مورد نیاز طبق فرمول 1 به ترتیب از نمونه‌ی $50-40$ تا $50-25$ در سری 2 و 3 کاهش می‌یابد. با توجه به عوامل فوق، و با کم شدن میزان انحنا، در می‌یابیم که میزان ظرفیت نهایی نیز به ترتیب در نمونه‌های مذکور کاهش می‌یابد. با حذف تیر در یک سمت مانند نمونه‌های $50-0$ در سری 2 و 3 مانع نسبی در تغییر شکل خمی چشمی اتصال (مانند بالِ پایینی تیر کوچک‌تر در نمونه‌های $50-40$ و $50-32$ و $50-25$) رفع شده و ظرفیت این نمونه‌ها نسبت به نمونه‌ی قبلی در هر سری، یعنی نمونه‌ی $50-25$ ، افزایش محسوسی می‌یابد. اما این مقدار به ظرفیت نمونه‌های $50-50$ در هر سری که شرایط مزبور چشمی اتصال نزدیک‌تری با نمونه‌های مذکور دارند نمی‌رسد. با دیدن تصاویر تغییر شکل مرزهای چشمی اتصال چنین به نظر می‌رسد که مرزهای چشمی اتصال در این نمونه‌ها، چون از یک طرف محدود به تیر نیستند، میزان تغییر شکل‌ها و انحنا در مرز آزاد سمت بدون تیر و همچنین تنش‌های فون میس بسیار کمتر از قسمتی از چشمی اتصال است که به تیر متصل است. همچنین با توجه به جداول 7 و 8 مقدار ضخامت مورد نیاز در تحلیل، طبق فرمول 1 در نمونه‌ی $50-0$ در سری 2 و 3 بسیار کمتر از نمونه‌ی $50-50$ است. در نتیجه می‌توان دریافت که عوامل مذکور باعث کم شدن انحنا و خمیدگی نهایی در



شکل ۲۸. نمودارهای مقایسه‌ی ظرفیت برشی برای نمونه‌های با چشمی اتصال طراحی شده بر مبنای مقاومتی.

فرمول ۲ نیز در نمونه‌هایی که ارتفاع تیر کوچک‌تر بزرگ‌تر از نصف ارتفاع تیر بزرگ‌تر است محافظه‌کارانه است.

۳. نتیجه‌بیی که از مشاهده‌ی تغییر شکل‌های چشمی اتصال در نمونه‌ها می‌توان دریافت این است که با افزایش ضخامت بال ستون مود رفتاری چشمی اتصال از برشی به خمشی تغییر می‌کند و روابط ۱ و ۲ که بر مبنای تغییر شکل در مود برش بوجود آمده‌اند برای آنها درست نیست. این مطلب در سری‌های ۲ و ۳ مشهود است و تقاضات‌های فاحشی که در ظرفیت چشمی اتصال ناشی از تحلیل نسبت به فرمول ارائه شده در استاندارد ۲۸۰۰ برای تخمین ظرفیت چشمی اتصال در این سری‌ها دیده می‌شود، نشان دهنده‌ی این مطلب است. در مجموع به نظر می‌رسد روابط ارائه شده در استاندارد ۲۸۰۰ باید طوری اصلاح شوند که همه‌ی شرایط هندسی را پوشش دهند.

۴. از شکل ۲۸ و مطالب بیان شده از بخش ۱۲ می‌توان دریافت که وجود ورق‌های پیوستگی — به خصوص در تیرهای نابرابر که باید ورق پیوستگی سومی روبروی بال پایینی تیر کوچک‌تر قرار داد — به خصوص در نمونه‌هایی که به ورق پیوستگی مطابق آئین‌نامه‌ی فولاد ایران^[۱] نیاز دارند به عنوان یک سخت‌کننده باعث جلوگیری از کمانش موضعی خارج از صفحه‌ی چشمی اتصال و نتیجتاً کاهش ظرفیت چشمی اتصال می‌شود. بنابراین، وجود ورق پیوستگی سوم روبروی بال پایینی تیر کوچک‌تر در برخی شرایط مستعد کمانش در چشمی اتصال، حتی در صورت عدم نیاز، در ظرفیت چشمی اتصال در تیرهای نابرابر در دو طرف مؤثر تشخیص داده می‌شود.^[۱۷]

کمانش جانبی صورت گرفته است و در نتیجه ظرفیت چشمی اتصال آن پایین‌تر از سری ۱ قرار گرفته است. اما در سری ۳ در نمونه ۵۰-۲۵ با افزایش ضخامت بال ستون به اندازه ۴/۵ سانتی‌متر، موجب حذف کمانش‌های موضعی آن شده و ظرفیت آن را نسبت به همین آرایش تیر، در سری ۲ افزایش داده است.

نتیجه‌گیری

نتایج کلی حاصل از ارزیابی تحلیلی چشمی اتصال با شرایط هندسی متفاوت عبارت است از:

۱. در نمونه‌هایی که نسبت ضخامت بال ستون به ضخامت جان ستون عددی کوچک است (سری ۱) فرمول استفاده شده برای تخمین واقعی لنگر نظری ظرفیت برشی چشمی اتصال (فرمول ۱) عددی نزدیک به واقعیت است. ولی فرمول ۲ برای چشمی اتصال با تیرهای برابر در دو طرف و یا برای ستون‌های خارجی عددی غیرمحافظه‌کارانه، و دور از واقعیت است. نتایج ارائه شده برای بارگذاری فزاینده‌ی تدریجی غیرخطی^[۷] مؤید این مطلب است، و بنابراین توصیه می‌شود در نمونه‌هایی که نسبت ضخامت بال ستون به جان ستون کوچک است، فرمول ۲ برای چشمی اتصال خارجی یا چشمی اتصال با تیرهای برابر استفاده نشود.

۲. در نمونه‌هایی که نسبت ضخامت بال ستون به جان ستون زیاد است (سری ۳)، فرمول ۱ که همان فرمول ارائه شده در استاندارد ۲۸۰۰ است بسیار محافظه‌کارانه و دور از واقعیت است. حتی

پانوشت

1. strain hardening

منابع

- Federal management agency FEMA 355 D-2000- State of the Art report on Connection Performance.
- Federal management agency FEMA 355 C-2000- State of the Art report System Performance of Steel moment frames Subject to Earthquake Ground Shaking.
- Federal management agency FEMA 355 F-2000- State of the Art report on Performance Prediction and evaluation of Steel Moment Frames Building.
- Popov, E.P., Blondet, M.M.Stepanov, L. and Stojanovic, B 1996 "Full-scale Steel Beam Column Connection Tests", SAC 96-01 Part 2. SACjoint Venture.
- Popov, E.P., Blondet, M.M.Stepanov, L. and Stojanovic, B 1996 "Full-scale Steel Beam Column Connection Tests", SAC 96-01 Part 2. SACjoint Venture.
- Popov, E.P., Amin, N.R.Louie, j.c, and Stephen, "Cyclic behavior of Large Beam to Column assemblies" *Earthquake Spectra*, 1 (2), pp. 203-238 (1985).
- EL-Tawil,S. "Panel Zone Yielding in Steel Moment Connections", *AISC Engineering Journal*, 3, pp. 120-130 (2000).
- EL-Tawil, S. Mikesell, T. kunnath, S. Vidarsson,

- E Febuary "inelastic Behavior and Design of Steel Panel Zone", *Journal of Structural Engineering*, **125** (2), (2000).
۹. دفتر نظمات مهندسی، «مقررات ملی ساختمان ایران مبحث دهم طرح و اجرای ساختمان‌های فولادی» چاپ صنوبر (۱۳۷۷).
۱۰. مرکز تحقیقات ساختمان و مسکن، «آین نامه طراحی ساختمان‌ها در برابر زلزله» چاپخانه مرکز؛ ویرایش دوم (۱۳۷۹).
۱۱. طاحونی، شاپور، زندی امیریمان، «اتصالات در سازه‌های فولادی» انتشارات دهدخدا (۱۳۷۴).
۱۲. احمدی جزئی، روح‌ا...؛ حسینی‌هاشمی. بهرج، «بررسی اثر چشمی اتصال بر رفتار لرزه‌بی قاب مقاوم خمی فولادی»، پایان‌نامه کارشناسی ارشد مهندسی زلزله (۱۳۸۴).
13. Schinder, S.P. and Amidi A. "Seismic Behavior of Steel Frames With Deformable Panel Zone", *Journal of Structural Engineering ASCE*, **124** (1), pp. 35-42 (1998).
14. Chen, W.F. "Joint Flexibility in Steel Frames", MC Graw-Hill Book Co. Third Printing (1987).
15. Krawinkler, H. "Shear Design of Steel Frame Joints", *Engineering Journal AISC*, **15** (3), (1978).
16. Popov, E.P. "Panel Zone Flexibility in Seismic Moment Joints", *Journal of Construction in Steel research Barking, England Vol & pp. 91-118* (1987).
17. Englekirk, P.E.E, "Extant Panel Zone Design Procedures for Steel Frames are Questioned", *Earthquake Speaktra*, **15** (2), (1999).